

TABLAS

Tabla 1.

Distribución de la muestra

		n	%	Chi-sq proportions
Sexo	0	110	57,89%	0,002
	1	80	42,11%	
Patrón hipodivergente Ptr Fc	0	107	56,32%	0,014
	1	83	43,68%	
Patrón normodivergente Ptr Fc	0	83	43,68%	0,014
	1	107	56,32%	
Clase I	0	140	73,68%	0,000
	1	50	26,32%	
Clase II división 1	0	140	73,68%	0,000
	1	50	26,32%	
Clase II división 2	0	140	73,68%	0,000
	1	50	26,32%	
Clase III	0	150	78,95%	0,000
	1	40	21,05%	
Total general		190	100,00%	

Tabla 2.

Análisis de regresión logística del patrón esquelético hipodivergente

Patrón hipodivergente Ptr Fc						
	<i>coeff b</i>	<i>s.e.</i>	<i>p-value</i>	<i>OR</i>	<i>lower</i>	<i>upper</i>
Intercept	-3,41	1,60	0,033	0,03		
Sexo	0,22	0,31	0,487	1,24	0,67	2,29
Edad de toma radiografía lateral	0,07	0,07	0,362	1,07	0,93	1,23
Espacio de la línea B Nff	0,02	0,01	0,138	1,02	0,99	1,04
Altura de la rama Nff	0,00	0,03	0,948	1,00	0,94	1,06
Smiling chin Nff	0,14	0,07	0,056	1,15	1,00	1,33

Tabla 3.

Análisis de regresión logística del patrón esquelético normodivergente

Patrón normodivergente Ptr Fc						
	<i>coeff b</i>	<i>s.e.</i>	<i>p-value</i>	<i>OR</i>	<i>lower</i>	<i>upper</i>
Intercept	3,41	1,60	0,033	30,32		
Sexo	-0,22	0,31	0,487	0,80	0,44	1,48
Edad de toma radiografía lateral	-0,07	0,07	0,362	0,94	0,81	1,08
Espacio de la línea B Nff	-0,02	0,01	0,138	0,98	0,96	1,01
Altura de la rama Nff	0,00	0,03	0,948	1,00	0,94	1,07
Smiling chin Nff	-0,14	0,07	0,056	0,87	0,75	1,00

Tabla 4.

Análisis de la relación de los signos de Noffel con la clase II división 2

CLASE II DIVISION 2						
	<i>coeff b</i>	<i>s.e.</i>	<i>p-value</i>	<i>OR</i>	<i>lower</i>	<i>upper</i>
Intercept	0,53	1,70	0,754	1,71		
Sexo	0,34	0,36	0,347	1,40	0,69	2,82
Edad de toma radiografía lateral	0,02	0,08	0,788	1,02	0,88	1,19
Espacio de la línea B	0,01	0,01	0,595	1,01	0,98	1,03
Altura de la rama	-0,12	0,04	0,001	0,89	0,82	0,95
Smiling chin	0,24	0,08	0,005	1,27	1,08	1,50

Tabla 5.

Análisis de la relación de los signos de Noffel con la clase I

CLASE I CLE						
	<i>coeff b</i>	<i>s.e.</i>	<i>p-value</i>	<i>OR</i>	<i>lower</i>	<i>upper</i>
Intercept	-2,00	1,74	0,251	0,14	0,00	0,00
Sexo	-0,33	0,35	0,344	0,72	0,36	1,43
Edad de toma radiografía lateral	0,07	0,08	0,343	1,08	0,92	1,26
Espacio de la línea B Nff	0,01	0,01	0,485	1,01	0,98	1,03
Altura de la rama Nff	-0,03	0,03	0,365	0,97	0,91	1,04
Smiling chin Nff	0,09	0,08	0,248	1,10	0,94	1,28

Tabla 6.

Análisis de la relación de los signos de Noffel con la clase II división 1

CLASE II DIVISION 1 CLE						
	<i>coeff b</i>	<i>s.e.</i>	<i>p-value</i>	<i>OR</i>	<i>lower</i>	<i>upper</i>
Intercept	-0,44	1,81	0,806	0,64		
Sexo	0,19	0,35	0,591	1,21	0,61	2,41
Edad de toma radiografía lateral	0,07	0,08	0,419	1,07	0,91	1,26
Espacio de la línea B Nff	-0,03	0,02	0,071	0,97	0,94	1,00
Altura de la rama Nff	0,02	0,04	0,478	1,03	0,96	1,10
Smiling chin Nff	-0,18	0,09	0,035	0,83	0,71	0,99

Tabla 7.

Análisis de la relación de los signos de Noffel con la clase III

CLASE III CLE						
	<i>coeff b</i>	<i>s.e.</i>	<i>p-value</i>	<i>OR</i>	<i>lower</i>	<i>upper</i>
Intercept	-2,65	1,90	0,165	0,07	0,00	0,00
Sexo	-0,32	0,40	0,417	0,73	0,33	1,58
Edad de toma radiografía lateral	-0,23	0,09	0,014	0,79	0,66	0,95
Espacio de la línea B Nff	0,01	0,01	0,371	1,01	0,99	1,04
Altura de la rama Nff	0,16	0,04	0,000	1,17	1,08	1,27
Smiling chin Nff	-0,19	0,10	0,051	0,83	0,69	1,00

FIGURAS

Figura 1.

Signos de Noffel

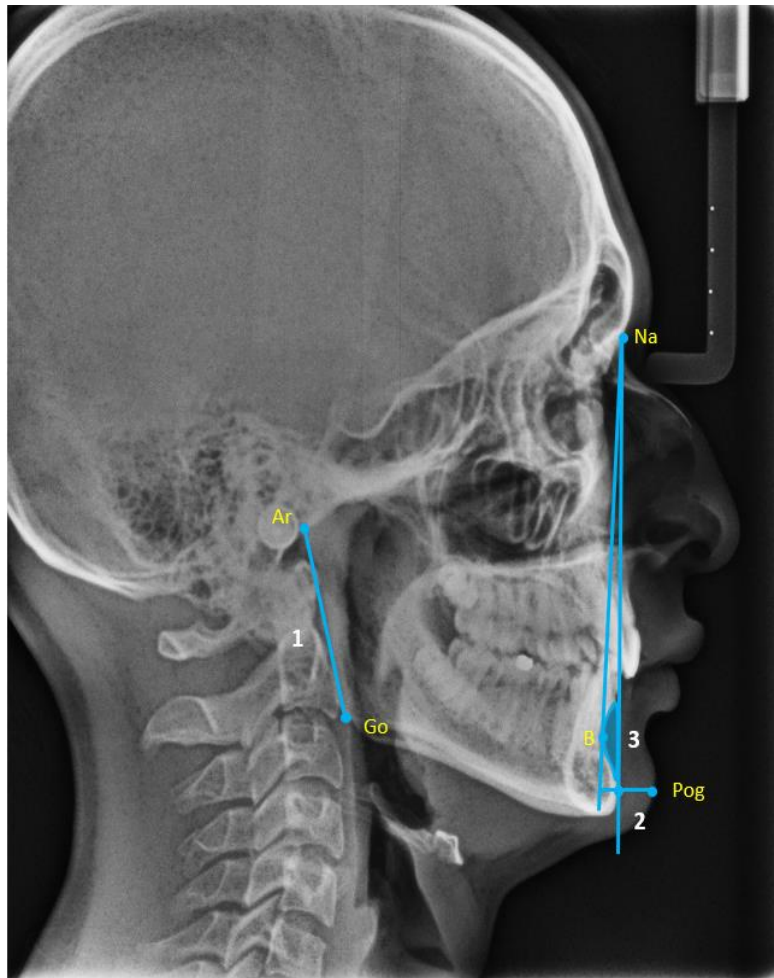


Figura 2.

Flujograma de selección de la muestra

